

**ОБЪЕДИНЕННЫЙ ИНСТИТУТ ЯДЕРНЫХ ИССЛЕДОВАНИЙ**

3-2000-92

На правах рукописи  
УДК 539.173.4

РУСКОВ  
Иван Николов

ДЕЛЕНИЕ  $^{237}\text{Np}$  РЕЗОНАНСНЫМИ НЕЙТРОНАМИ

Специальность: 01.04.16 — физика атомного ядра  
и элементарных частиц

Автореферат диссертации на соискание ученой степени  
кандидата физико-математических наук

Дубна 2000

Работа выполнена в Лаборатории нейтронной физики им. И. М. Франка  
Объединённого института ядерных исследований

Научные руководители:

доктор физических наук,  
старший научный сотрудник II степени ИЯИЭ-БАН,  
ДЕРМЕНДЖИЕВ Элмир

доктор физико-математических наук,  
начальник Отдела ядерной и нейтронной физики,  
Государственный научный центр Российской Федерации  
Физико-энергетический институт  
им. акад. А.И. Лейпунского, ГНЦ РФ-ФЭИ,  
ГОВЕРДОВСКИЙ Андрей Александрович

Официальные оппоненты:

доктор физико-математических наук,  
ведущий научный сотрудник ЛЯР им. Г.Н. Флёрова ОИЯИ  
ГАНГРСКИЙ Юрий Петрович

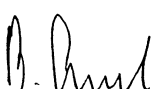
доктор физико-математических наук,  
профессор,  
заведующий Кафедрой ядерной физики  
Обнинского института атомной энергетики,  
ГРУДЗЕВИЧ Олег Теофильевич

Ведущая организация: Научно-исследовательский институт ядерной физики  
им. Д.В. Скobel'цына Московского государственного университета им. М.В. Ломоносова

Защита состоится «       » 2000 г. в \_\_\_\_ часов на заседании  
специализированного совета Д 047.01.05 при Лаборатории нейтронной физики  
им. И. М. Франка и Лаборатории ядерных реакций им. Г. Н. Флёрова  
Объединённого института ядерных исследований, г. Дубна, Московской области,  
конференц-зал ЛЯР.

С диссертацией можно ознакомиться в библиотеке ОИЯИ.

Автореферат разослан «       » ..... 2000 г.

Ученый секретарь специализированного совета:  ПОПЕКО А. Г.

## **ОБЩАЯ ХАРАКТЕРИСТИКА РАБОТЫ**

### Актуальность проблемы

В последние годы в связи с обсуждением проблемы *трансмутации* [Sha89] высокоактивных и токсичных трансурановых изотопов ( $^{237}\text{Np}$ ,  $^{236}\text{Pu}$ ,  $^{239-242}\text{Pu}$ ,  $^{214,242}\text{m,243}\text{Am}$ ,  $^{245}\text{Cm}$ ), образующихся в *активной зоне* (АЗ) современного ядерного реактора, интерес к  $^{237}\text{Np}$  сильно возрос. Причина в том, что он образуется в больших количествах в АЗ. Имея  $T_{1/2,\alpha} = 2,14 \cdot 10^6$  лет он является один из самых самых неблагоприятных изотопов с точки зрения *утилизации* радиоактивных "отходов". Для его трансмутации предполагается использовать реакцию *деления* ( $n,f$ ). Моделирование этого процесса требует знания всего набора ядерных данных для  $^{237}\text{Np}$ , в том числе и *сечения деления*  $\sigma_f$   $^{237}\text{Np}$  нейтронами. Около порога при  $E_n \approx 0,65$  МэВ оно плавно возрастает и известно с достаточной для целей трансмутации точностью. В *подпороговой* области  $\sigma_f$  имеет ярко выраженную *клusterную* структуру [FBM68+]. "Хвосты" делительных резонансов определяют величину  $\sigma_f$  в тепловой области. Поскольку для трансмутации предполагается использовать реакторы на *тепловых* нейтронах, то точное знание параметров резонансов очень важно и нужно. Тем более, что имеются *сильные различия* ~1,5-3 раза между данными разных групп [FBM68+, PBP76, JBO72, AMM84+, KYK92+].

Изучение резонансного деления  $^{237}\text{Np}$  актуально и с точки зрения физики деления для получения важной информации о самом процессе деления ядра и его характеристиках, таких как: *высота и структура* барьеров деления; *структура* переходных состояний над барьерами деления; *силы связи* коллективной моды между состояниями I и II класса составного ядра, *влияние квантовых характеристик* возбуждённых состояний составного ядра на свойства осколков деления; *схемы*  $\gamma$ -переходов между высоковозбуждёнными состояниями делящегося ядра и т.д. [Щер90].

### Цель работы

- 1) Измерение *сечения деления*  $\sigma_f(E_n)$  и усреднённого сечения  $\langle\sigma_f\rangle$   $^{237}\text{Np}$  в интервале энергии нейtronов  $E_n \in (3-500)$  эВ и сравнение с данными других групп;
- 2) Определение *площадей*  $\sigma_0 \Gamma_f$  и *делительных ширин*  $\Gamma_f$  резонансов деления  $^{237}\text{Np}$  в интервале энергии нейtronов  $E_n \in (3-60)$  эВ, где эти значения в работах различных авторов отличаются в 1,5 – 3 раза;
- 3) Проверка гипотезы о существовании  $(n,\gamma f)$ -реакции при подбарьерном делении  $^{237}\text{Np}$  резонансными нейтронами; оценка её вклада в процессе деления, определение ширины  $\Gamma_f$  и энергии  $E_\gamma$  предделительного  $\gamma$ -кванта.

### Научная новизна и практическая ценность работы

*Новизна* экспериментов в том, что полученные нами экспериментальные результаты привели к предположению о существовании  $(n,\gamma f)$ -реакции в

подпороговом делении  $^{237}\text{Np}$ , которая может быть конкурентом деления ядра через изомерное состояние.

Практическая ценность работы состоит в определении сечения деления, параметров резонансов, энергетического хода  $\sigma_f$ . Эти ядерные данные важны для расчёта реакторов на тепловых и/или быстрых нейтронах и для моделирования процесса трансмутации трансурановых изотопов.

### Основные результаты диссертации

1. Измерено сечение деления с высокой статистической точностью в области  $E_n \in (3 - 1000)$  эВ;
2. Определены площади  $\sigma_0 \Gamma_f$  и ширины  $\Gamma_f$  для ряда слабых резонансов в области  $E_n < 10$  эВ, а также для резонансов в области первого резонансного кластера при  $E_n \sim 40$  эВ;
3. Впервые выявлена вариация выходов 3 и более  $\gamma$ -квантов деления от резонанса к резонансу, которая изменяется в пределах  $\sim 5\%$  по отношению к усреднённому значению.
4. Показано, что часть этой вариации может быть связана с протеканием ( $n,\gamma f$ )-реакции в подпороговом резонансном делении  $^{237}\text{Np}$  нейtronами.
5. Впервые получена оценка энергии этого предделительного  $\gamma$ -кванта (или этих  $\gamma$ -квантов)  $E_\gamma \geq 0,6$  МэВ и оценена ширина возможного ( $n,\gamma f$ )-процесса ( $\Gamma_{\gamma f} \sim 1 - 10$  мкэВ).

### Апробация работы

Представленные в диссертации результаты докладывались на симпозиуме “Ядерные данные для науки и технологии” в Юлихе, Германия, 1991 г., на конференциях по физике деления в Смоленице, Словакия (1993 г.), на конференциях и совещаниях по нейтронной физике в Алуште (1991 г.), Дубне (1994-95 гг.), Обнинске (1993-95 гг.). По материалам диссертации опубликованы 11 работ. Наши исследования были поддержаны Российским Фондом Фундаментальных Исследований (грант № 95-020-03740) и Международным Научно-Техническим Центром (грант № 471-97).

### Публикации

Основные результаты опубликованы в 11 работах, в которых Диссертант является соавтором: в том числе, журнальные статьи – 4 [5, 7, 10, 11], доклады на международных конференциях и рабочих совещаниях – 5 [1, 2, 6, 8, 9], препринты ОИЯИ – 2 [3, 4].

### Объем и структура диссертации

Диссертация содержит 195 страниц, включающих в себя 76 рисунков и 15 таблиц. Диссертация состоит из Введения, 4 глав и Заключения. Полный список литературы состоит из 301 наименований.

Большое число методических вопросов, которые могут оказаться полезными для Читателя, обсуждаются в отдельных Приложениях 1–9, содержащих 152 страниц, 49 рисунков и 20 таблиц, которые предоставлены в конце Диссертации.

## КРАТКОЕ СОДЕРЖАНИЕ ДИССЕРТАЦИИ

Во введении “<sup>237</sup>Np – проблемы фундаментального, прикладного и методического характера” дано исчерпывающее представление об актуальности исследования подпорогового деления <sup>237</sup>Np и о современном состоянии проблемы. Подчёркнуто, что из-за больших сложностей, с которыми сопровождается изучение подпорогового деления изотопа <sup>237</sup>Np, число работ по теме невелико, а полученные данные неполные. Существующие данные по параметрам резонансов и усреднённом сечении деления к началу нашей работы различались в 1,5–3 раза.

Первая глава “Модели строения атомного ядра и деление” представляет обзор по физике деления атомного ядра с точки зрения разных ядерных моделей. Коротко рассмотрены основные понятия физики деления ядра, такие как делимость, барьер и порог деления согласно моделям жидкой капли Хила–Уилера [HW39] и оболочечных поправок Струтинского [Str67], а так же модели составного ядра Н. Бора [Boh36]. Кроме того, обсуждается канальная теория деления О. Бора [Bor56]. В § 1.8 подробно описана промежуточная структура в сечении подпорогового деления <sup>237</sup>Np [FBM68+], <sup>240</sup>Pu, <sup>234</sup>U как результат разной по силе взаимной связи между состояниями I и II класса составного ядра. Рассматриваются и спонтанное деление тяжёлых ядер [FP40] и изомеры формы [PDK62+],

Во второй главе описана методика измерения сечения деления <sup>237</sup>Np резонансными нейтронами, площадей  $\sigma_0 \Gamma_f$  и ширин  $\Gamma_f$  резонансов деления и исследования вариации выходов  $\gamma$ -квантов деления от резонанса к резонансу.

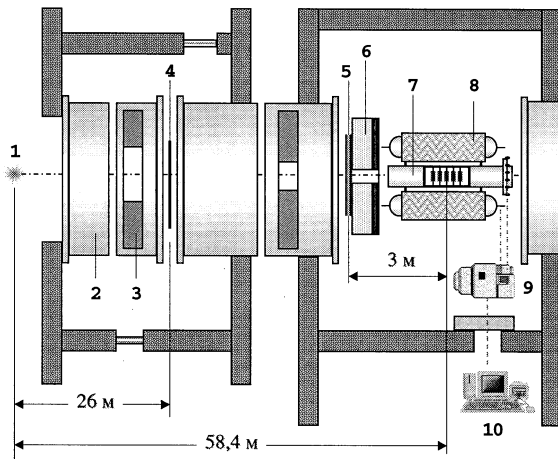
В § 2.1 рассмотрен метод времени пролёта, который использовался для выделения эффекта деления нейтронами разных энергий.

В § 2.3 описаны условия измерений (§ 2.3.1) и составные части и характеристики созданной экспериментальной установки для исследования  $\sigma_f$  <sup>237</sup>Np нейтронами. Она состояла из (Рис. 1): импульсного источника нейтронов ИИН (1) (§ 2.2); системы формирования нейтронного пучка (2)–(6); измерительно-накопительно-обрабатывающей компьютеризированной системы (ИНОС) (7)–(10).

В качестве ИИН использовался бустер ИБР-30, работающий совместно с ЛУЭ-40. Отмечаются как положительные стороны этого источника (относительно высокая плотность потока резонансных нейтронов до  $E_n \sim 50$  эВ), так и его недостатки (относительно большой фон запаздывающих нейтронов и плохое энергетическое разрешение при ширине вспышек  $\tau \sim 4$  мкс).

Частота повторения нейтронных импульсов была  $f \approx 100$  Гц, а их средняя ширина  $\langle\tau\rangle$  зависела от коэффициента размножения быстрых нейтронов  $k$  в активной зоне ИБР-30. Были выполнены измерения при двух размножениях нейтронов в АЗ:  $\langle k \rangle \approx 200$  ( $\langle\tau\rangle \approx 4$  мкс) и  $\langle k \rangle \approx 100$  ( $\langle\tau\rangle \approx 2,5$  мкс).

ИНОС (§ 2.3.2) состояла из детектора осколков деления (7), 4π-детектора  $\gamma$  – лучей (8), электроники детекторов осколков и  $\gamma$  – квантов (9), компьютеризированного модуля для временного и амплитудного анализа (10) и была расположена на III канале ИБР-30 в павильоне № 52 на расстояние  $L \approx 58,4$  м от его АЗ (1). На этой базе диапазон доступных для измерения энергии нейтронов:  $E_n \approx 0,2$  эВ – 1 кэВ, а временное разрешение нейтронного спектрометра составляло  $\delta t \approx 70$  нс/м при  $\langle \kappa \rangle \approx 200$  и  $\delta t \approx 40$  нс/м при  $\langle \kappa \rangle \approx 100$ .



**Рис. 1. Схема экспериментальной установки на 3 пучке ИБР-30:**

1 – активная зона; 2 – вакуумированный нейтроновод; 3 – коллиматор нейтронного пучка ; 4 – фильтр из Cd; 5 – фильтры из Mn, Co, Rh; 6 – защита -коллиматор; 7 – многосекционная камера деления; 8 – БЖСД; 9 – аналоговая часть электроники; 10 – компьютеризированный времяпролётный анализатор.

В § 2.3.2.1 и Приложении 6 описаны используемые для регистрации осколков деления многослойные ионизационные камеры деления (КД), работающие в импульсном режиме. Показано, что использование такого типа детектора осколков является предпочтительным для решения задач, связанных с регистрацией осколков деления на фоне высокой собственной  $\alpha$ -активности  $^{237}\text{Np}$ . Использовались две КД, содержащие разное количество изотопа неупущения  $^{237}\text{Np}$ : малая камера деления (МКД) { $m_{\text{м}}(^{237}\text{Np}) \approx 0,133$  г} и большая камера деления (БКД) { $m_{\text{б}}(^{237}\text{Np}) \approx 1,5$  г}. Конструкция обеих КД определялась поставленными выше задачами и условиями измерений. КД располагалась в сквозном отверстии большого 6-секционного жидкостного сцинтилляционного детектора  $\gamma$ -лучей БЖСД (§ 2.3.2.2).

Некоторые параметры используемых мишеней даны в Таблице 1.

Конструкция и схема расположения электродов большой камеры деления (БКД) показана на Рис. 2. Рабочим газом служила стандартная смесь из 90 % Ar + 10 % CH<sub>4</sub> (Р10-газ) при давлении  $p \sim [600 \div 760]$  мм рт. ст.

Таблица 1

Мишени Камера	МКД	БКД
Число двухсторонних мишеней с Np, шт.	6	15
Химическое соединение	NpO <sub>2</sub>	NpO <sub>2</sub>
Диаметр активного слоя, мм	40	80
Средняя плотность изотопа, мг/см <sup>2</sup>	~ 1	~ 1
Суммарная масса, мг	133 ± 13	1507 ± 45
Суммарное число ядер <sup>237</sup> Np, 10 <sup>20</sup>	3,38 ± 0,34	38,30 ± 1,15
Примеси <sup>239</sup> Pu, г/г	10 <sup>-6</sup>	10 <sup>-6</sup>
Примеси <sup>235</sup> U, г/г	10 <sup>-6</sup>	10 <sup>-6</sup>
Калибровочные мишени из U, шт	1	1
Химическое соединение	U <sub>3</sub> O <sub>8</sub>	U <sub>3</sub> O <sub>8</sub>
Обогащение по изотопу <sup>235</sup> U, %	90	90
Средняя плотность изотопа, мг/см <sup>2</sup>	1	1
Масса, мг	8,4 ± 0,85	10,5 ± 1,05
Число ядер <sup>235</sup> U, 10 <sup>19</sup>	2,17 ± 0,22	2,71 ± 0,27

В качестве стандарта для определения  $\sigma_f$  <sup>237</sup>Np использовалось сечение деления <sup>235</sup>U в диапазоне резонансных энергий до  $E_n \sim 20$  эВ, где имеется ряд сильных и относительно изолированных резонансов деления, чии характеристики известны с высокой точностью [Mug84].

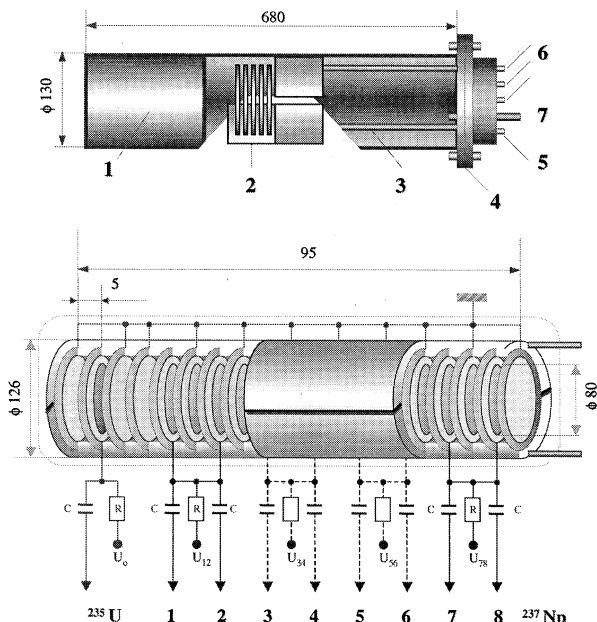


Рис. 2. Принципиальная схема БКД:

1 – корпус, 2 – плоскопараллельные секции, 3 – держатели, 4 – фланец, 5 – СР разъём для урановой секции, 6 – СР разъёмы восьми нептуниевых секций, 7 – вакуумный вентиль для откачки и наполнения. Все размеры показаны в миллиметрах.

Определение числа ядер  $^{237}\text{Np}$  в мишенях из Np, а так же числа ядер  $^{235}\text{U}$  в калибровочной мишени из U проводилось с помощью  $\alpha$ -спектрометра ЛЯР (Приложение 7). Определение доли примесей изотопа  $^{235}\text{U}$  в Np-мишениях проводилось и по счёту делений в интервале энергий нейтронов  $E_n \approx (8,55 \div 8,85)$  эВ во времяпролётных спектрах деления  $^{237}\text{Np}$  (§ 2.4), т.е по проявлению наиболее сильного резонанса деления  $^{235}\text{U}$  при  $E_n \approx 8,8$  эВ. Таким образом, было определено, что доля примесей  $^{235}\text{U}$  не более  $10^{-6}$  г/г.

В § 2.3.2.2 рассмотрены регистрация  $\gamma$ -квантов деления при помощи 6-ти секционного жидкостного сцинтиляционного детектора нейтронов и  $\gamma$ -лучей и его характеристики [МПР72+].

Основное качество этого детектора в режиме регистрации  $\gamma$ -лучей – это его низкая чувствительность к рассеянным быстрым нейтронам и безрадиационное поглощение тепловых нейтронов растворенным в толуоле метил-боратом.

§ 2.4 посвящён измерениям времяпролётных (ВПС) и амплитудных спектров (АС) импульсов осколков деления и их совпадений с импульсами  $\gamma$ -квантов с БЖСД, а так же определению эффективности регистрации осколков (§ 2.4.2), величины и поведения фона (§ 2.4.4) в ВПС деления и совпадения.

Блок-схемы электроники БЖСД и большой камеры деления (БКД) показаны на Рис.3. Накопление, сохранение, предварительная обработка и визуализация спектров осуществлялась с помощью программы MAK [МАК91]. Каждый из 2048 канальных времепролётных спектров состоял из 4 групп временных окон: 1024 x 1 мкс, 512 x 4 мкс, 256 x 8 мкс и 256 x 16 мкс.

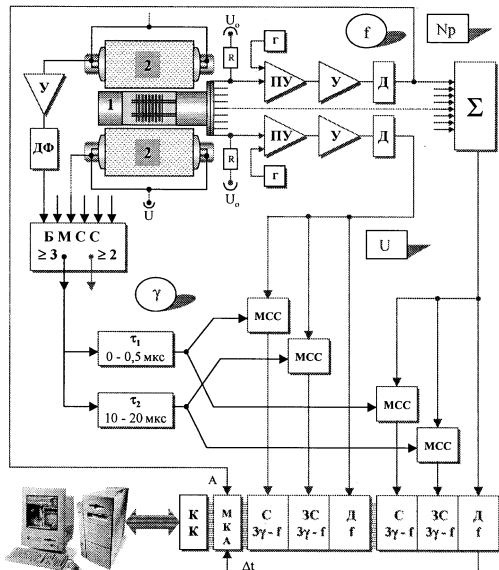


Рис. 3. Блок-схема электроники детекторов осколков и  $\gamma$ -квантов:

- (1) – многослойная газовая ионизационная камера деления (БКД); (2) – БЖСД; ПУ – предусилитель; У – усилитель; Д – дискриминатор; ДФ – дискриминатор + формирователь;  $\Sigma$  – сумматор; БМСС – быстрая мажоритарная схема совпадений; МСС – “медленная” схема совпадений; МКА – многоканальный анализатор амплитуд АК-1024; (Д, С, ЗС) – временные анализаторы импульсов делений, совпадений и задержанных совпадений; КК – крейт-контролер,  $U_o \sim 300 - 400$  В,  $U \sim 2100 - 2250$  В.

Для определения эффективности регистрации (§ 2.4.3) осколков деления ядер  $^{237}\text{Np}$  –  $\epsilon_f^{(7)}$  и  $^{235}\text{U}$  –  $\epsilon_f^{(5)}$ , измерялись их амплитудные спектры. Постоянство величин  $\epsilon_f^{(7)}$  и  $\epsilon_f^{(5)}$  в разные моменты времени после нейтронной вспышки ИИН проверялось путём измерения амплитудных спектров осколков деления в 8 временных "окнах" шириною по 128 каналов каждое. Было найдено, что начиная со 2-го "окна" все амплитудные спектры имеют одинаковую форму без каких-либо сдвигов спектров по временной оси. Это свидетельствовало о постоянстве величин  $\epsilon_f^{(7)}$  и  $\epsilon_f^{(5)}$  вплоть до  $E_n \sim 1$  кэВ.

**Фон в ВПС деления  $^{235}\text{U}$**  определялся

(§ 2.4.4.1) при помощи резонансных фильтров из  $Mn$  (337 эВ),  $Co$  (132 кэВ),  $Rh$  (1,26 эВ) и  $Cd$  (0,18 эВ), помещённых в пучок нейtronов. На Рис. 4. показано одно из измерений с резонансными фильтрами в пучке. Для определения параметров фоновой кривой нами использовался метод наименьших квадратов (§ 2.4.4.2), реализованный в неопубликованной до сих пор программе Диссертанта для обработки ВПС на базе минимизирующего

модуля FUMILI [ГЖИ89], а также хорошо известная программа ORIGIN [Ori98] (Рис. 5).

Определение фона в ВПС деления  $^{237}\text{Np}$  (§ 2.4.4.4) с помощью резонансных фильтров сильно затруднено по следующим причинам: во-первых – это чрезвычайно малые межрезонансные значения  $\sigma_f$  на уровне  $\sim 10^{-2}$  барн, при которых применение резонансных

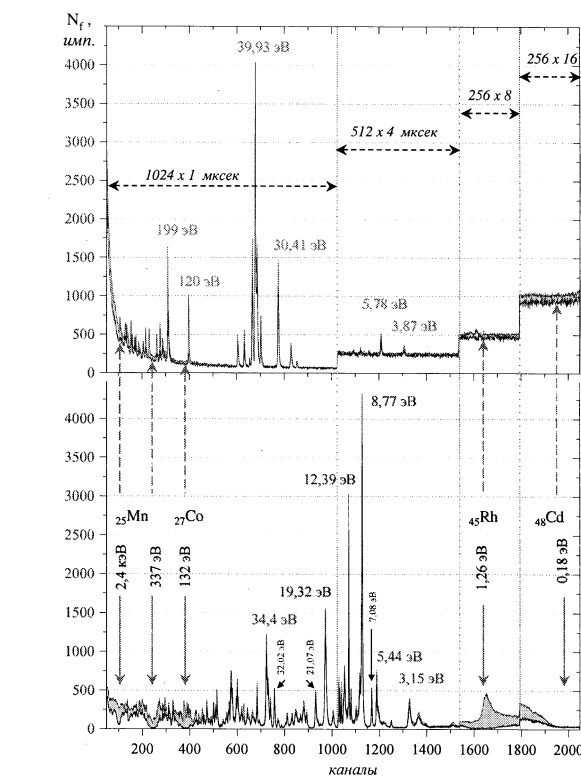
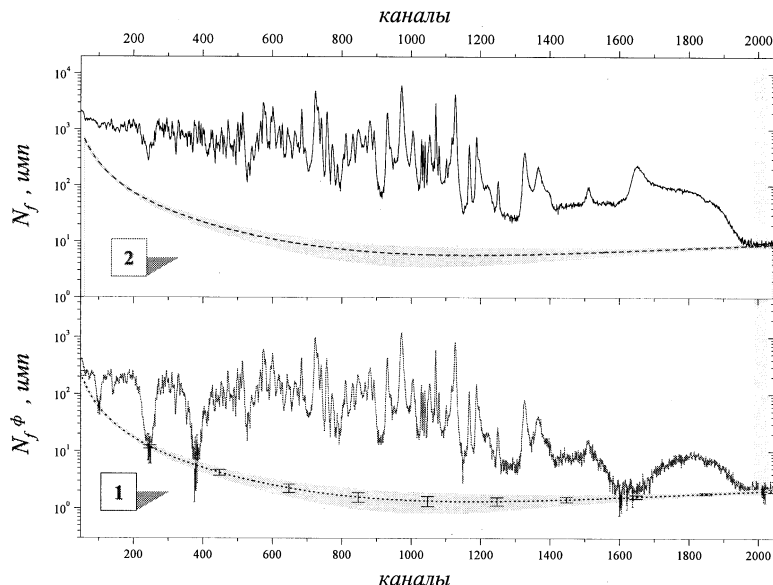


Рис. 4. Экспериментальные ВПС импульсов деления  $^{235}\text{U}$  (снизу) и  $^{237}\text{Np}$  (сверху). Использованы "черные" резонансные фильтры из  $Mn$ ,  $Co$ ,  $Rh$  и  $Cd$ . Временная кодировка ВКП-4:  $1024 \times 1$  мкс +  $512 \times 4$  мкс +  $256 \times 8$  мкс +  $256 \times 16$  мкс. Время набора спектров:  $\approx 21$  ч. 20 мин. Коэффициент размножения нейтронов в АЗ ИБР-30:  $k \approx 100$ .

фильтров не даёт нужного эффекта; во-вторых, как

было указано выше, это – характерный для ИБР-30 недостаток – относительно высокий фон запаздывающих нейтронов из АЗ между вспышками (§ 2.2.1.3).

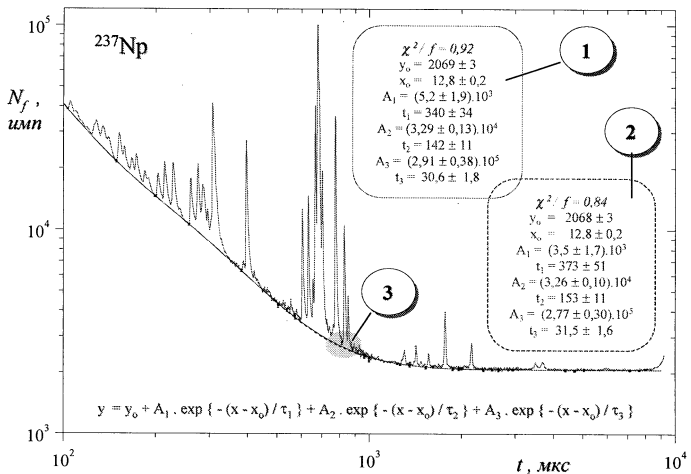


**Рис. 5.** ВПС  $^{235}\text{U}$  вместе с кривыми фона. (1) – измерение с фильтрами нейтронов из  $Mn$ ,  $Co$ ,  $Rh$ ,  $Cd$ ,  $t = 21$  ч. 20 мин; (2) – измерение с фильтром из  $Cd$ ,  $t = 83$  ч. 48 мин. Средняя мощность ИБР-30:  $\langle W \rangle \sim 4,5$  кВт.

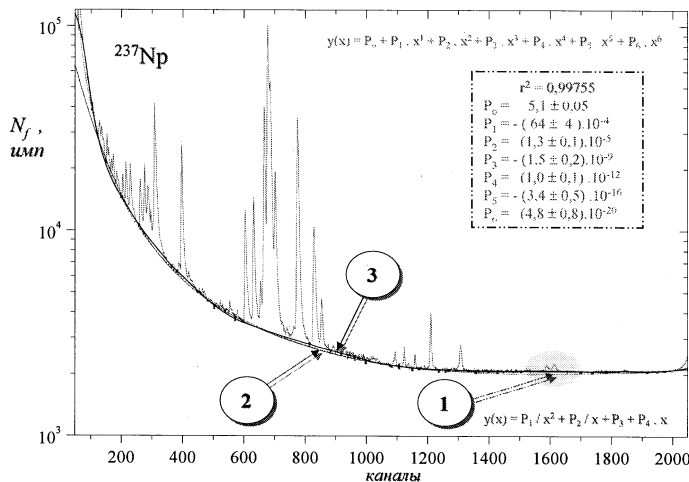
Поэтому, для определения фона в диапазоне  $E_n$  от  $\sim 3$  эВ до  $\sim 1000$  эВ выбирались  $\sim 20$ -ти интервалов, где по данным [Mug84] нет резонансов и МНК проводилась гладкая кривая фона. Аппроксимация фоновых точек *разными* гладкими функциями показала, что величина неопределенностей при определении фона, возникающих при использовании различных функций для описания его хода в области кластера резонансов при энергии нейтронов  $E_n \sim 40$  эВ, не больше статистической ошибки фона и практически *не влияет* на величину отношения площадей соответствующих резонансов в обоих ВПС – "делителе" и "совпадательном".

Практически равноточные результаты были получены при использовании в качестве подгоночной функции суммы трёх экспонент (Рис. 6), полинома 6-ой степени, 4-параметрической квадратической функции или путём сглаживания спектров кубической сплайн-функцией (Рис. 7).

Фон в ВПС *совпадений* импульсов  $\gamma$ -детектора с импульсами КД (§ 2.4.4.6) имеет кроме плавно изменяющейся составляющей ещё и резонансную – это случайные совпадения между  $\gamma$ -квантами и фоновыми делениями.



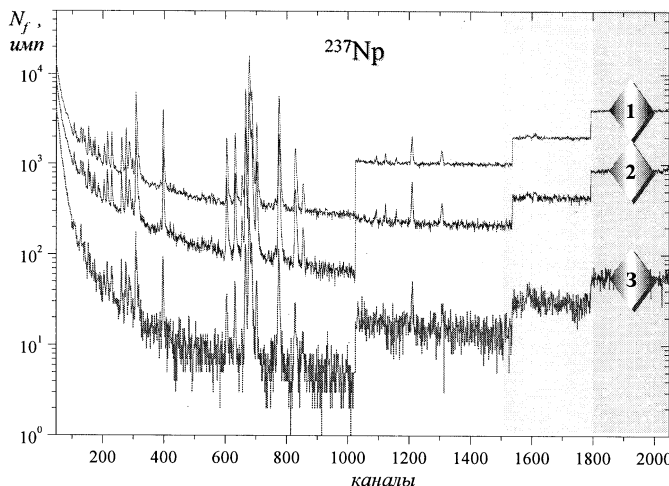
**Рис. 6. Кривые фона в делительном ВПС  $^{237}\text{Np}$  (в  $t$ -представлении).**  
Показаны гладкие кривые фона и их параметры: (1) – фон проведён по 59 точкам; (2) – фон проведён по 56 точкам, не учитывая 3 точки в районе (3), доверительные интервалы – 95 %.



**Рис. 7. Кривые фона в делительном ВПС  $^{237}\text{Np}$ .** Показаны гладкие кривые фона, полученные по 59 точкам с использованием: (1) – 4-параметрической квадратичной функции (пунктир с точками); (2) – полиномом 6-степени (пунктирная линия); (3) – кубической сплайн-функцией (непрерывная линия).

Поэтому, для определения вклада случайных совпадений (СС) вводилась временная задержка импульсов с БСЖД и измерялись ВПС задержанных совпадений (ЗС). Измерения ВПС ЗС выполнялись одновременно с измерением мгновенных совпадений (МС) [ГКП59]. Ширина временного окна схемы совпадений после оптимизации была выбрана равной 1 мкс, а измерения проводились и на пониженной мощности реактора  $\langle W \rangle \sim 4,5$  кВ, при которой ВПС имели несколько лучшее временное разрешение.

На Рис. 8 показаны ВПС: деления (1), “ $\geq 3\gamma f$ ” – совпадений (2) и задержанных совпадений (3) для  $^{237}\text{Np}$ . Эффективность детектирования делений в канале совпадений  $\sim 42\%$ , доля случайных совпадений  $< 10\%$  от суммарного счёта совпадений и  $\sim 2\text{-}3\%$  от счёта делений.



**Рис. 8. Времяпролётные спектры  $^{237}\text{Np}$ .** Время измерения:  $t = 83$  ч. 40 мин. Временная кодировка ВКП-4 как на Рис. 4. (1) – ВПС деления,  $N_f = N_f(k)$ ; (2) – ВПС совпадений  $\geq 3\gamma$ -квантов с делениями,  $N_c = N_c(k)$ ; (3) – ВПС задержанных совпадений,  $N_{sc} = N_{sc}(k)$ ; Временное окно (разрешающее время) схемы совпадений:  $\tau = 1$  мкс. Время задержки:  $t_3 = 5$  мкс.

После поканального вычитания ВПС задержанных совпадений (3) от суммарных совпадений (2), определялся фон согласно изложенной выше процедуре.

Третья глава посвящена методу определения из ВПС деления площадей  $\sigma_0 \Gamma_f$ , ширин  $\Gamma_f$  и усреднённого сечения деления  $\langle \sigma_f \rangle$  (§ 3.1).

Для определения величин  $\sigma_0 \Gamma_f$ , ВПС, измеренные с помощью малой камеры деления (МКД) обрабатывались методом "площадей", а ВПС с БКД – методом "формы". Оба метода подробно описаны в Приложении 4 Диссертации.

Согласно методу "площадей", в приближении тонкой мишени и пренебрежимо малой межрезонансной интерференции, площадь  $j$ -ого резонанса

$^{237}\text{Np} - (\sigma_o \Gamma_f)_j^{(7)}$ , при известном значении площади  $(\sigma_o \Gamma_f)_i^{(5)}$  для  $i$ -ого резонанса  $^{235}\text{U}$ , определялась по формуле:

$$(\sigma_o \Gamma_f)_j^{(7)} = \left( \sum N_f \right)_j^{(7)} \cdot \left( \frac{\sigma_o \Gamma_f}{\sum N_f} \right)_i^{(5)} \cdot \frac{n^{(5)} \varepsilon_f^{(5)}}{n^{(7)} \varepsilon_f^{(7)}} \cdot \left( \frac{E_j}{E_i} \right)^{0.9} \quad (1)$$

Таким образом, нахождение  $(\sigma_o \Gamma_f)_j^{(7)}$  сводилось к определению: сумм  $(\Sigma N_f)_j^{(7)}$  и  $(\Sigma N_f)_i^{(5)}$ , которые являются суммарными скоростями деления в пределах соответствующих резонансов; эффективностей регистрации актов делений  $\varepsilon_f^{(7)}$  и  $\varepsilon_f^{(5)}$  с КД; числа ядер  $n^{(7)}$  изотопа  $^{237}\text{Np}$  в мишениях из нептуний и  $n^{(5)}$  в калибровочной урановой мишени.

Для определения делительных ширин  $(\Gamma_f)_j^{(7)}$  с помощью полученных площадей  $(\sigma_o \Gamma_f)_j^{(7)}$ , из формул (4-26) Приложения 4, после несложных преобразований, можно получить следующую формулу:

$$(\Gamma_f)_j^{(7)} = 0,384 \cdot 10^{-6} \cdot \left( \frac{\sigma_o \Gamma_f}{g \Gamma_n / \Gamma} \right)_j^{(7)} \cdot E_j \quad (2)$$

В ней все константы учтены числовым множителем, а размерность всех остальных величин дана в "эВ". Для расчёта  $(\sigma_o \Gamma_f)_i^{(5)}$  использовались рекомендованные значения для  $\sigma_o^{(5)}$  и  $\Gamma_f^{(5)}$ , которые, как и значения нейтронных  $(g \Gamma_n)_i^{(7)}$  и полных ширин  $\Gamma_i^{(7)}$ , брались из [Mug84]. Суммарные ошибки площадей и делительных ширин рассчитывались стандартным образом, учитывая ошибки всех величин в обеих формулах (1) и (2).

Для сравнения полученного нами сечения деления с данными других авторов, рассчитывалось усреднённое в интервале  $[E_1 - E_2]$  сечение по следующей формуле:

$$\langle \sigma_f(E_i, E_2) \rangle_i^{(7)} = \frac{1,66 \cdot 10^{-6}}{E_2 - E_1} \cdot \sum_{E_i}^{E_2} N_f^{(7)} \cdot \left( \frac{E_j}{E_i} \right)^{0.9} \quad (3)$$

Здесь  $E_j$  – энергия нейронов, соответствующая середине энергетического интервала  $[E_1 - E_2]$ , а  $E_i$  – энергия  $i$ -го калибровочного резонанса  $^{235}\text{U}$ . Каждое значение  $\langle \sigma_f(E_1, E_2) \rangle$  является средним по трём значениям  $E_i \equiv E_{ni} \in \{7,1; 12,4; 19,3\}$  эВ.

После вычитания фона, для 27 резонансов в интервале 3 эВ  $\div$  50 эВ были определены величины  $\sigma_o \Gamma_f$  и  $\Gamma_f$  (Таблицы 1  $\div$  4). В Таблице 1 представлены значения  $\sigma_o \Gamma_f$ , измеренные Платтардом и др. [PBP76], Пикельнером и др. [ГКК70+] и нами [3, 5], в интервале  $E_n \approx (0,5 \div 11)$  эВ. Видно, что данные полученные в Дубне систематически выше данных французской группы [PBP76]. В среднем, отношение сумм по величинам  $\sigma_o \Gamma_f$  работы [3, 5] и этой работы  $\approx 2,4$ . Значения  $\sigma_o \Gamma_f$  для резонансов в интервале  $E_n \approx (24 \div 50)$  эВ показаны в Таблице 2. В этом интервале отношение  $\approx 3,2$ , т.е. на 30 % выше значения отношения в первом интервале. Но в обоих интервалах

имеются слабые резонансы, такие как при 4,86 эВ; 10,68 эВ; 29,49 эВ и 38,18 эВ, для которых разница в значениях выходит далеко за пределы ошибок  $\Delta(\sigma_0 \Gamma_f)$ . В Таблице 3 и Таблице 4 сравниваются значения делительных ширин  $\Gamma_f$  взятые из работ *Платтарда и др.* [PBP76], *Коллара и др.* [KTL71] и *Дерменджиева и др.* [3,5].

Таблица 1. Площади  $\sigma_0 \Gamma_f$  резонансов в интервале энергий нейтронов от  $\sim 0,5$  эВ до  $\sim 11$  эВ.

$E_n$ , (эВ)	$\sigma_0 \Gamma_f$ , (барн.эВ) $\times 10^{-3}$		
	<i>Пикельнер</i> и др. [ГКК70+]	<i>Платтард</i> и др. [PBP76]	<i>Дерменджиев</i> и др. [3,5]
0,489	2,9 $\pm$ 0,7		
1,321	3,8 $\pm$ 1,0		
1,479	3,5 $\pm$ 1,0		
1,969	1,9 $\pm$ 1,0		
3,865	16 $\pm$ 4	6 $\pm$ 0,9	11,7 $\pm$ 1,9
4,26		0,4 $\pm$ 0,3	1,3 $\pm$ 0,2
4,86		0,1 $\pm$ 0,1	1 $\pm$ 0,2
5,78	46 $\pm$ 9	1,6 $\pm$ 1,8	35,4 $\pm$ 5,6
7,42	12 $\pm$ 6	2,7 $\pm$ 0,6	6,6 $\pm$ 1,1
8,30		0,9 $\pm$ 0,5	3,5 $\pm$ 0,6
8,97		4,1 $\pm$ 0,5	11,8 $\pm$ 1,9
10,68		2,5 $\pm$ 0,4	10,2 $\pm$ 1,6
10,84		1,8 $\pm$ 0,6	3,1 $\pm$ 0,5
11,10		1,0 $\pm$ 0,3	2,6 $\pm$ 0,5

Сравнение данных, приведенных в Таблицах 1  $\div$  4 показывает, что в интервале энергий нейтронов ниже  $\sim 50$  эВ полученные значения делительных ширин  $\Gamma_f$  [3,5] для большинства резонансов согласуются, в пределах достигнутой точности ( $\sim 15\text{--}20\%$ ) с рекомендованными значениями [Mug84], хотя значения  $\Gamma_f$  для некоторых резонансов выходили за пределы ошибок. Значения усреднённого сечения  $^{237}\text{Np}$  в районе  $E_n \in [3 \div 500]$  эВ представлены в Таблице 5 (1-ая колонка) вместе с их полными ошибками.

Таблица 2. Площади  $\sigma_0 \Gamma_f$  резонансов в интервале энергий нейтронов от  $\sim 24$  эВ до  $\sim 50$  эВ.

$E_n$ , (эВ)	$\sigma_0 \Gamma_f$ , (барн.эВ) $\times 10^{-3}$	
	<i>Платтард</i> и др. [ PBP76 ]	<i>Дерменджиев</i> и др. [3,5]
24,98	17,8 $\pm$ 1,8	43 $\pm$ 7
26,19	11 $\pm$ 4	44 $\pm$ 7
26,56	70,7 $\pm$ 5,5	170 $\pm$ 30
29,49	0,6 $\pm$ 0,2	23 $\pm$ 4
30,41	308 $\pm$ 12	850 $\pm$ 140
30,75	1,3 $\pm$ 0,6	5,2 $\pm$ 0,8
31,30	2,2 $\pm$ 0,7	1,5 $\pm$ 0,3
37,15	147,3 $\pm$ 12	440 $\pm$ 70
38,18	7,7 $\pm$ 2,2	82 $\pm$ 13
38,92	288 $\pm$ 24	890 $\pm$ 140
39,24	153,2 $\pm$ 12	530 $\pm$ 80
39,79	69,4 $\pm$ 22	190 $\pm$ 30
39,93	891,8 $\pm$ 44,5	2920 $\pm$ 470
41,35	389 $\pm$ 27	1230 $\pm$ 200
42,81	21,3 $\pm$ 7	95 $\pm$ 15
46,04	130,2 $\pm$ 7	400 $\pm$ 60
50,34	117,7 $\pm$ 13	370 $\pm$ 60

Таблица 3. Делительные ширины  $\Gamma_f$  резонансов в интервале энергий нейтронов от  $\sim 0,5$  эВ до  $\sim 11$  эВ.

$E_n$ (эВ)	$\Gamma_f$ (мкэВ)			
	Рекомендова- н-ные значения [Mug84]	Пикель- пер и др. [ГКК70+]	Платтард и др. [PBP76]	Дерменджие- в и др. [3,5]
0,489	1,24 $\pm$ 0,26	1,3		
1,321	8,7 $\pm$ 0,5	4,1		
1,479	1,33 $\pm$ 0,14	1,1		
1,969	4,2 $\pm$ 0,3	8,4		
3,865	7,0 $\pm$ 0,7	7,8	3 $\pm$ 0,5	5,8 $\pm$ 1,0
4,26	0,34 $\pm$ 0,2		0,2 $\pm$ 0,2	6,4 $\pm$ 1,2
4,86	7,9 $\pm$ 0,2		0,07 $\pm$ 0,07	4,4 $\pm$ 0,9
5,78	12,6 $\pm$ 0,5	13	5 $\pm$ 0,5	11,1 $\pm$ 1,9
7,42	9,5 $\pm$ 0,9	19	4,2 $\pm$ 1,0	10,4 $\pm$ 1,9
8,31	670 $\pm$ 2		2,1 $\pm$ 0,6	8,7 $\pm$ 1,6
8,97	24,0 $\pm$ 1,2		8,8 $\pm$ 1,2	26 $\pm$ 5
10,68	5,4 $\pm$ 0,4		1,5 $\pm$ 0,3	6,4 $\pm$ 1,1
10,84	0,8 $\pm$ 0,3		0,8 $\pm$ 0,3	1,3 $\pm$ 0,2
11,10	3,4 $\pm$ 0,3		0,4 $\pm$ 0,1	1,2 $\pm$ 0,2

усреднённого сечения работы [4,7] в интервалах  $E_n \in \{5-6; 30-60; 110-130; 180-240\}$  эВ примерно в 3 раза выше величин  $\sigma_f^{(7)}$ , полученных в *Сакле* [PBP76], и в пределах ошибок согласуются с данными *Кимуры и др.* [KYK92+] из Университета в *Киото*, а также с данными *Джаколетти и др.* [JBO72], полученными с использованием нейтронов подземного ядерного взрыва. Полученные нами значения усреднённого сечения между кластерами практически совпадают с данными *Сакле*, хотя можно было ожидать, что они, как и значения  $\sigma_f^{(7)}$  в области кластеров, будут выше их.

На Рис. 10 показаны кривые усреднённого сечения деления  $^{237}\text{Np}$   $\langle\sigma_f(E_n)\rangle$  на спектрометрах по времени замедления: (1) – [KYK92+], (4) – [GDD97+] и по времени пролёта: (2) – [5], (5) – [12]. Пунктиром показано, оценённое сечение (3) – [Ign96]. Видно качественное согласие между ними. Определённое различие между [4] и [11] связано с более правильным определением фона в [11]. Таким образом, Дубненские данные по  $\langle\sigma_f(E_n)\rangle$  согласуются с данными *Кимуры и др.* [KYK92+], *Джаколетти и др.* [JBO72] и примерно в 3 раза выше данных *Сакле* [PBP76].

Последние включают в себя статистическую ошибку суммы делений  $\Delta(\Sigma N_f^{(7)})$  в интервале нейтронных энергий  $[E_1-E_2]$  и указанные выше систематические ошибки.

Значения для усреднённого сечения  $\langle\sigma_f(\Delta E_n)\rangle$  показаны на Рис. 9 вместе с данными работ [PBP76], [JBO72] и [KYK92+], которые получены на значительно отличающихся по своему энергетическому разрешению нейтронных спектрометрах: от  $\sim 0,04\%$  [PBP76] и  $\sim 2\%$  [3] до  $\sim 30\%$  [GDD97+] и  $\sim 40\%$  [KYK92+]. Поэтому приведенное здесь сравнение данных, полученных на разных по разрешению спектрометрах, является качественным.

Видно, что значения

Таблица 4. Делительные ширины  $\Gamma_f$  резонансов в интервале энергий нейтронов от  $\sim 24$  эВ до  $\sim 50$  эВ

$E_n$ , (эВ)	$\Gamma_f$ (мкэВ)			
	Рекомендован- ные значения [Mug84]	Коллар и др. [KTL71]	Платтард и др. [PBPT76]	Дерменджиев и др. [3,5]
24,98	8,5 ± 0,6	40,8 ± 3,4	3,6 ± 0,5	8,2 ± 1,5
26,19	85 ± 5	71,6 ± 24	30,6 ± 8,5	160 ± 30
26,56	63 ± 2	64,2 ± 7,3	22,5 ± 3,2	57 ± 10
29,49	62 ± 46		9,9 ± 6,1	300 ± 50
30,41	270 ± 8	109 ± 13	79,8 ± 10,2	250 ± 40
30,75	6,6 ± 6,6	132 ± 40	5,1 ± 2,7	18 ± 3
31,30	17 ± 3	44,3 ± 23	6,9 ± 2,4	5 ± 0,9
37,15	340 ± 10	232 ± 46	142,3 ± 28,5	360 ± 60
38,18	20 ± 2	68,5 ± 21	8,6 ± 3,0	72 ± 13
38,92	1000 ± 200	710 ± 180	380,2 ± 84,0	970 ± 170
39,24	840 ± 12	533 ± 160	333,1 ± 105,8	1060 ± 190
39,79	21 ± 21		1686,9 ± 800,0	1480 ± 260
39,93	7720 ± 66	5500 ± 970	864,7 ± 122,7	6360 ± 1110
41,35	700 ± 20	275 ± 48	216,7 ± 32,5	720 ± 130
42,81	1000 ± 100	307 ± 88	236,8 ± 153,4	1110 ± 200
46,04	700 ± 40	550 ± 110	276,1 ± 139,8	820 ± 140
50,34	57 ± 70	57,2 ± 8,4	23,3 ± 5,9	310 ± 50

Четвёртая  
глава посвящена  
поиску ( $n, \gamma f$ ) -  
реакции в  
подпороговом  
делении  $^{237}\text{Np}$   
резонансными  
нейтронами.  
В § 4.1  
описан механизм  
( $n, \gamma f$ )-процесса.  
В § 4.2  
обсуждаются  
эксперименталь-  
ные методы его  
исследования.  
Особо внимание  
уделено  
прямому методу,  
связаному с  
регистрацией  
мгновенных  $\gamma$ -  
квантов. Так как  
 $\gamma$ -кванты в  
основном  
излучаются на  
поздней фазе  
деления, т.е.  
через  $\sim 10^{-15}$  с  
после деления  
составного ядра,  
то  
предполагают,  
что величина  
энергии

возбуждения составного ядра слабо влияет на множественность и форму  $\gamma$ -спектров с осколков деления. Поэтому, вариацию множественности (или её функционалом) и полной энергии  $\gamma$ -квантов деления от резонанса к резонансу, за счёт испускания предделительного  $\gamma$ -кванта, считают индикатором существования ( $n, \gamma f$ )-реакции.

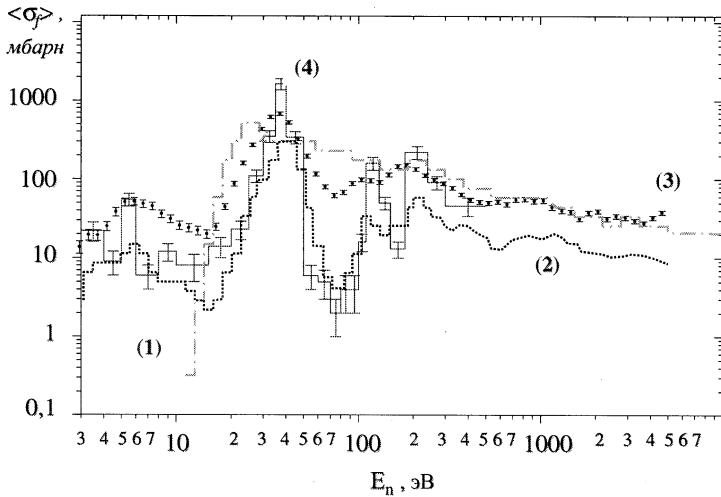
Вариацию средней множественности делительных  $\gamma$ -квантов  $\Delta \langle v_\gamma \rangle$  по отношению к средней множественности предделительных  $\gamma$ -квантов  $\langle v_{\gamma f} \rangle$  определяют формулой [RTS73+]:

$$\Delta \langle v_\gamma(E_\gamma) \rangle = (\Gamma_{\gamma f} / \Gamma_f) \langle v_{\gamma f} \rangle \quad (4)$$

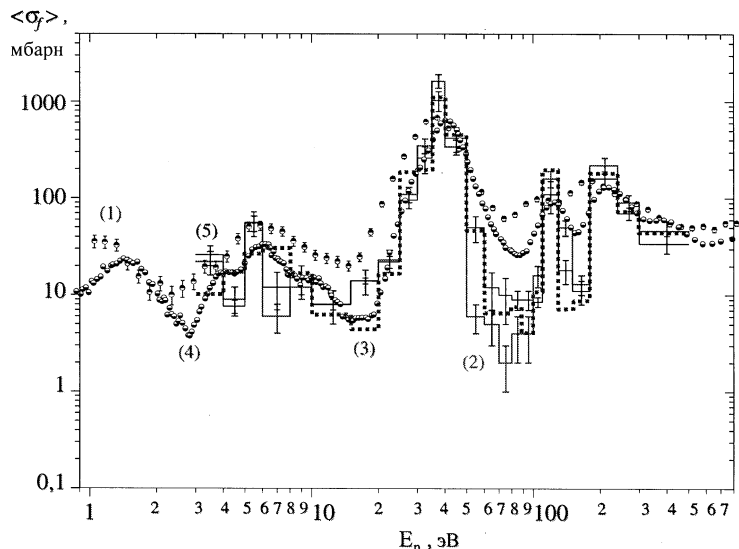
Таблица 5 Усреднённое сечение деления  $^{237}\text{Np}$  в интервале энергий нейтронов от 3 эВ до 500 эВ.

$\Delta E_{\text{n}}, \text{эВ}$	$\langle \sigma_f \rangle, \text{мбарн}$				
	[4,7]	по $\Gamma_f$ из [3,5]	по $\Gamma_f$ из [11]	по $\Gamma_f$ из [Mug84]	[11]
3 – 4	22 ± 6	18,3 ± 4,8	18 ± 2	22 ± 1	26 ± 6
4 – 5	9 ± 3	5,2 ± 0,6	1,7 ± 0,1	5,1 ± 0,2	7,6 ± 1,2
5 – 6	55 ± 10	53 ± 14	51 ± 7	61 ± 5	56 ± 16
6 – 8	6 ± 2	6,4 ± 1,4	6,1 ± 0,7	10,5 ± 0,4	12 ± 5
8 – 10	12 ± 3	12 ± 2	10 ± 1	210 ± 17	15 ± 5
10 – 15	8 ± 3	5,3 ± 0,9	3,4 ± 0,3	6 ± 3	8 ± 1
15 – 20	14 ± 4	0,49 ± 0,09	0,48 ± 0,04	0,53 ± 0,04	14 ± 1
20 – 25	23 ± 6	10 ± 3	13,5 ± 1,8	12,5 ± 1,1	22 ± 3
25 – 30	110 ± 20	82 ± 14	74 ± 7	76 ± 5	96 ± 18
30 – 35	350 ± 60	254 ± 65	253 ± 32	276 ± 22	260 ± 80
35 – 40	1640 ± 260	1346 ± 222	1263 ± 116	1362 ± 79	1030 ± 240
40 – 50	340 ± 60	294 ± 52	283 ± 23	292 ± 16	420 ± 120
50 – 60	6 ± 2	57 ± 18	50 ± 6	53 ± 4	50 ± 15
60 – 70	5 ± 2				12 ± 5
70 – 80	2 ± 1				10 ± 5
80 – 90	4 ± 2				9 ± 2
90 – 100	4 ± 2				9 ± 2
100 – 110	16 ± 4				8,5 ± 1,0
110 – 130	160 ± 30				110 ± 40
130 – 150	50 ± 9				18 ± 5
150 – 180	13 ± 3				11 ± 3
180 – 240	220 ± 40				160 ± 30
240 – 300	91 ± 17				70 ± 10
300 – 500	46 ± 12				34 ± 7

Считается, что из-за большого числа выходных каналов этой реакции ширина  $\Gamma_f$  остается *постоянной* для резонансов *одного спина* [Lyn68]. Поскольку средние множественность  $\langle v_f \rangle$  и энергия предделительных  $\gamma$ -квантов  $\langle E_f \rangle$  зависят только от этого процесса, то они должны быть *постоянными* для резонансов *одного спина*.



**Рис. 9.** Сравнение значений  $\langle\sigma_f\rangle$  для  $^{237}\text{Np}$ , измеренных на нейтронах подземного ядерного взрыва (1) – [JBO72], в Сакле (2) – [PBP76], на KULS (3) – [KYK92+] и на ИБР-30+ЛУЭ-40 (4) – [4,7].



**Рис. 10.** Значения  $\langle\sigma_f\rangle$  для  $^{237}\text{Np}$ , измеренные на установках: KULS (1) – [KYK92+], ФАКЕЛ (4) – [GDD97+], ИБР-30+ЛУЭ-40: (2) – [4,7] и (5) – [11], показаны вместе с оценочными значениями (3) – [Ign96].

Тогда для средней множественности  $\gamma$ -квантов деления  $\langle v_\gamma \rangle$  в случае существования  $(n,\gamma f)$ -реакции имеем следующее соотношение [RTS73+, Tro78, Щер90, Rya97]:

$$\langle v_\gamma \rangle = \langle v_{\gamma 0} \rangle + \Delta \langle v_\gamma \rangle = \langle v_{\gamma 0} \rangle + (\Gamma_{\gamma f} / \Gamma_f) \langle v_{\gamma f} \rangle \quad (5)$$

Здесь  $\langle v_{\gamma f} \rangle$  – среднее значение множественности предделительных  $\gamma$ -квантов, а  $\langle v_{\gamma 0} \rangle$  – среднее значение множественности  $\gamma$ -квантов при отсутствие  $(n,\gamma f)$ -реакции;  $\Gamma_{\gamma f}$  и  $\Gamma_f$  – ширина этой реакции и полная ширина деления. Обычно среднее значение множественности  $\gamma$ -квантов деления, в случае отсутствия  $(n,\gamma f)$ -реакции,  $\langle v_{\gamma 0} \rangle \sim 7$  [VWS73], а для средней множественности  $\langle v_{\gamma f} \rangle$  предполагается, что она равна 1. Из соотношений (4) – (5) видно, что в случае протекания  $(n,\gamma f)$ -процесса должны наблюдаться корреляции величин множественности  $\gamma$ -квантов  $v_\gamma$  с обратной шириной деления  $1/\Gamma_f$ . Информация о множественности  $\gamma$ -квантов получается используя метод совпадений нескольких  $\gamma$ -квантов деления с актами деления ядер.

§ 4.3 посвящён описанию эксперимента, а § 4.4 – определению относительных флуктуаций выходов  $\gamma$ -квантов деления от резонанса к резонансу. Отношение  $R_i$  числа отчётов в  $i$ -ом резонансе ВПС совпадения импульсов от 3 и больше  $\gamma$ -квантов с импульсами осколков к числу отчётов в соответственном резонансе ВПС деления определялось по формуле:

$$R_i = \left( \frac{n_{\gamma/f}}{n_f} \right)_i = \frac{\sum_{j=a_i}^{b_i} N_c(i, j)}{\sum_{j=a_i}^{b_i} N_f(i, j)} = \int_{E_{\gamma 1}}^{E_{\gamma 2}} \epsilon_\gamma(E_\gamma) \langle v_\gamma(E_\gamma) \rangle_i dE_\gamma \quad (6)$$

Величины  $R_i$ , определённые по формуле (6), представляют в действительности вероятности регистрации актов деления ядра по  $\gamma$ -квантам деления. Ожидается, что изменению средней множественности  $\gamma$ -квантов деления  $\Delta \langle v_\gamma \rangle$  на  $\sim 50\%$ , отвечает изменение в их выходе  $\Delta R$  на  $\approx 8\%$ . Т.е.:

$$\Delta \langle v_\gamma \rangle \sim 6 \Delta R \quad (7)$$

Значения выходов  $R_i$   $\gamma$ -квантов в резонансах деления были нормированными к значению  $R_{39,93}$  для резонанса при энергии 39,93 эВ, имеющего наибольшую ширину деления,  $\Gamma_f \sim 6 - 7$  мэВ [10]. На Рис. 11 и Рис. 12 представлены величины:

$$\underline{R}_i = R_i / R_{39,93} \quad (8)$$

В результате получается следующая формула для нормированных  $\gamma$ -выходов отдельных резонансов:

$$\underline{R}_i = \frac{R_i}{R_{39,93}} = 1 + \frac{1}{R_{39,93}} \cdot \frac{\Gamma_{\gamma f}}{\Gamma_f} \int_{E_{\gamma f 1}}^{E_{\gamma f 2}} \epsilon_\gamma(E_{\gamma f}) \langle v_{\gamma f}(E_{\gamma f}) \rangle_i dE_{\gamma f} \equiv a + b \cdot \frac{1}{\Gamma_f} \quad (9)$$

Отсюда сразу становится ясно, что значение коэффициента линейной корреляции  $r$  между *относительными выходами*  $\gamma$ -квантов и обратной шириной деления может служить индикатором о протекании  $(n,\gamma f)$ -реакции.

Для оценки *энергии*  $E_{\gamma f}$  возможных предделительных  $\gamma$ -квантов были использованы 3 разных значения порогов регистрации  $\gamma$ -квантов БЖСД, соответствующих энергиям  $\gamma$ -квантов  $E_{\gamma} \sim \{0,2; 0,4; 0,6\}$  МэВ. Полученные из этих трёх измерений величины относительных выходов  $\gamma$ -квантов в области разрешённых резонансов деления нейтронами с энергиями  $E_n \leq 10$  эВ, в резонансном кластере при  $E_n \sim 40$  эВ и в области неразрешённых резонансов при энергии 100 эВ  $< E_n < 400$  эВ, показаны на Рис. 11 и Рис. 12.

В интервале энергий нейтронов  $100 \text{ эВ} < E_n < 400 \text{ эВ}$ , значения усреднённых по многим резонансам относительных выходов  $\gamma$ -квантов близки к 1. Средневзвешенное значение относительных выходов в этом энергетическом интервале составляет  $\langle R \rangle_w^{ur} = 1,030 \pm 0,005$ . Оно близко к усреднённому относительному  $\gamma$ -выходу для “40 эВ”-кластера  $\langle R \rangle_w = 1,025 \pm 0,012$ , так как центральные резонансы резонансных кластеров при  $\sim 40$  эВ,  $\sim 120$  эВ и  $\sim 200$  эВ имеют большие и близкие значения ширин деления  $\Gamma_f \sim 10^{-2}$  эВ.

В интервале энергии нейтронов  $E_n \leq 10$  эВ все резонансы имеют экстремально низкие значения делительных ширин  $\Gamma_f \leq 26$  мкэВ. Нами определены оба значения: *среднее и средне взвешенное* по всем наблюдаемым в нашем эксперименте резонансам, т.е.  $\langle R \rangle_w^{lr} = 1,08 \pm 0,02$  и  $\langle R \rangle^{lr} = 1,12 \pm 0,06$  соответственно. Видно, что в рамках ошибок оба значения согласуются между собой.

Чтобы проверить является ли увеличение относительных выходов  $\gamma$ -квантов результатом  $^{237}\text{Np}$  ( $n,\gamma f$ )-реакции, каждый из трёх наборов величин  $R$  был проверен “ $1/\Gamma_f$ ” – тестом, т.е. на наличие линейной корреляции между величинами  $R$  и обратными делительными ширинами  $1/\Gamma_f$ , в соответствии с формулой (9). Более полное описание самого теста и полученные результаты даны в Приложении 9.

В § 4.5 обсуждаются результаты теста на наличие  $(n,\gamma f)$ -реакции в подпороговом делении  $^{237}\text{Np}$  резонансными нейтронами, которые сводятся к следующему:

1. Имеется *значительная и статистически значимая* линейная корреляция между значениями относительных выходов  $\gamma$ -квантов деления  $R$  и обратными делительными ширинами  $\Gamma_f^{-1}$  наблюдаемых резонансов в диапазоне энергии нейтронов от  $\sim 3$  эВ до  $\sim 60$  эВ;
2. Линейная корреляция *большая* при измерении с “низким” ( $E_{\gamma} \sim 0,2$  МэВ) и “высоким” ( $E_{\gamma} \sim 0,6$  МэВ) порогами:  $r(R, \Gamma_f^{-1}) \sim 0,7-0,8$ , тогда как при измерении с “промежуточным” порогом ( $E_{\gamma} \sim 0,4$  МэВ) она *умеренная*  $r(R, \Gamma_f^{-1}) \sim 0,3-0,5$  и *не очень значимой*. Это можно “объяснить” предполагая наличие структурности в энергетическом спектре  $\gamma$ -квантов деления. Исключение возможных методических ошибок при проведении нашего эксперимента может быть реализовано проведением более точных экспериментов с одновременной регистрацией энергетического спектра и множественности  $\gamma$ -квантов деления.

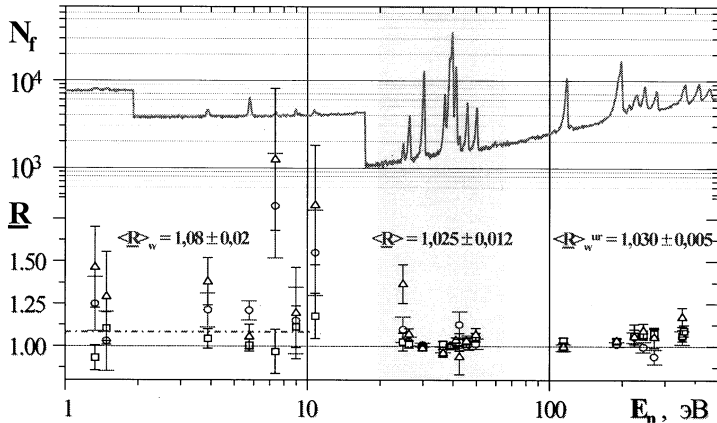


Рис. 11. Относительные выходы  $\geq 3\gamma$ -квантов  $R$  в отдельных резонансах деления  $^{237}\text{Np}$  в области энергии нейтронов  $E_n \in (1 - 500)$  эВ, при 3 разных порогах их регистрации  $E_\gamma \sim \{0,2; 0,4; 0,6\}$  МэВ

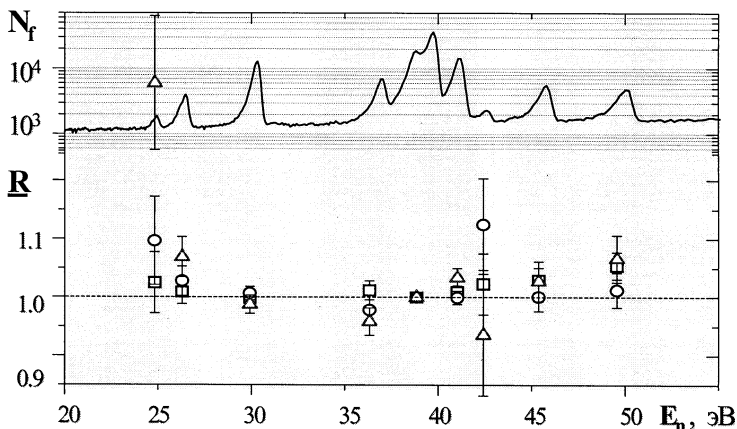


Рис. 12. Относительные выходы 3 и больше  $\gamma$ -квантов  $R$  в отдельных резонансах деления  $^{237}\text{Np}$  при 3 разных порогах их регистрации  $E_\gamma \sim 0,2$  МэВ (треугольники);  $\sim 0,4$  МэВ (квадратики);  $\sim 0,6$  МэВ (кружочки) в области 40-эВ кластера резонансов,  $E_n \in (25 - 50)$  эВ [8,10].

3. Линейная корреляция между сравниваемыми величинами ( $\bar{R}$ ,  $\Gamma_f^{-1}$ ) только для резонансов кластера при  $\sim 40$  эВ во всех трёх энергетических интервалах хотя и умереной по величине, является не очень значимой. Это может быть связано как с недостаточным объёмом этой выборки, так и с “маскированием” ( $n,\gamma f$ )-реакцию во II минимуме потенциального барьера прямым делением.

Из полученного для интервала энергии нейтронов  $\leq 10$  эВ средневзвешенного значения относительных выходов  $\langle \bar{R} \rangle_w \approx 1,08$  и из формулы (7), при предположении об излучении 1 предделительного  $\gamma$ -кванта, получается следующая оценка для ширины ( $n, \gamma f$ )-реакции:

$$\Gamma_{\gamma f} \sim 0,5 \cdot \Gamma_f \quad (10)$$

Таким образом, из (10) и наблюдаемых величин делительных ширин для резонансов со спином  $J = 3$  в этом интервале  $E_n$ , можно сделать вывод, что ширина ( $n, \gamma f$ )-процесса находится в диапазоне:

$$3 \text{ мкэВ} < \Gamma_{\gamma f} < 6 \text{ мкэВ} \quad (11)$$

так как верхняя граница значения ширины ( $n, \gamma f$ )-реакции не может быть больше минимально наблюдаемой ширины делительных резонансов. Эта оценка для  $\Gamma_{\gamma f}$  получена впервые. Наша оценка на несколько порядков превышает рассчитанное в работе *Вторина-Попова* [VP77] значение ( $\Gamma_{\gamma f}^{-1} \sim 0,2$  нэВ).

Относительные выходы  $\gamma$ -квантов в резонансах при  $E_n = 26,19$  эВ и  $E_n = 50,34$  эВ первого кластера таковы, что оценённые по формуле (10) делительные ширины  $\Gamma_{\gamma f} \sim (80-155)$  мкэВ во много раз больше значения  $\Gamma_{\gamma f}$  для слабых резонансов вдали от уровня II класса при  $E_n \sim 40$  эВ. Единственная до сегодняшнего дня оценка для ширины ( $n, \gamma f$ )-процесса во II минимуме потенциального барьера деления дана в той-же работе *Вторина-Попова* [VP77] и составляет  $\Gamma_{\gamma f}^{II} = 150$  мкэВ. С другой стороны, все эти оценки несколько десятков раз ( $\sim 30-40$ ) превышают величины  $\Gamma_{\gamma f}^{-1}$ , которые были указаны выше для очень слабых резонансов в интервале до 10 эВ.

В § 4.6 рассмотрено одно из возможных объяснений наблюдаемого “усиления” оценённой ширины  $\Gamma_{\gamma f}$  ( $n, \gamma f$ )-процесса в области резонансного кластера при  $\sim 40$  эВ, которое дано в работе *Дерменджиева* [Дер95]. Согласно этой гипотезе вариация выходов  $\gamma$ -квантов деления от слабых резонансов ниже 10 эВ, т.е. вдали от уровней II класса, объясняется как результат протекания ( $n, \gamma f$ )-процесса в I минимуме [Лун68] двугорбого потенциального барьера деления. Увеличение значения ширины  $\Gamma_{\gamma f}^{II}$  этой реакции в резонансах первого кластера могло бы явиться результатом её протекания во II минимуме барьера деления. Качественно это объясняется следующим образом: Время жизни  $T_f \sim 1 / \Gamma_f$  составного ядра по отношению к делению в резонансе с делительной шириной  $10^{-6} < \Gamma_f < 10^{-5}$  эВ составляет величину порядка  $10^{-9}-10^{-10}$  с. Характерное время испускания каскада  $\gamma$ -квантов при захвате нейтрона тяжёлыми ядрами  $\sim 10^{-14}$  с и

соответствует радиационной ширине  $\Gamma_\gamma \sim 40$  мэВ. Поэтому испускание предделительного  $\gamma$ -кванта за столь длительный промежуток времени кажется вполне вероятным. Таким образом, предполагается, что в слабых делительных резонансах испускание предделительного  $\gamma$ -кванта происходит между уровнями I минимума в барьере деления. Делительные резонансы в *кластерах* имеют значения  $\Gamma_f$  на 2–3 порядка больше, чем в слабых резонансах. При этом интервал времени до деления ядра сокращается и более заметным становится конкурирующий процесс – прохождение через внутренний барьер с последующим испусканием  $\gamma$ -кванта во II минимуме. Получена численная оценка для отношения ширин  $\Gamma_\gamma^{II} / \Gamma_\gamma^I \sim 30$  для ( $n, \gamma f$ )-процесса вблизи уровня II класса. Отмечено, что относительно высокие ошибки данных *единственного* пока эксперимента по изучению ( $n, \gamma f$ )-процесса в резонансах  $^{237}\text{Np}$ , а также отсутствие необходимых экспериментальных данных о состоянии делящихся ядер при больших деформациях не позволяют провести более точные оценки величин  $\Gamma_\gamma^{II} / \Gamma_\gamma^I$ . Там же, на основании полученных нами экспериментальных результатов, высказано предположение о том, что существование именно ( $n, \gamma f$ )-процесса во II минимуме потенциального барьера деления препятствует заселению изомерного уровня и сильно подавляет вероятность изомерного деления  $^{237}\text{Np}$ .

В Заключении подводятся итоги выполненной работы и излагаются основные выводы:

1. На III горизонтальном канале импульсного быстрого реактора ИБР-30 Лаборатории нейтронной физики им. И. М. Франка ОЯИ была *создана установка* для изучения *процесса деления* атомных ядер тяжёлых элементов резонансными нейтронами разных энергий путём регистрации  $\gamma$ -квантов и осколков делении ( § 2.3 );
2. Для измерения сечения подпорогового деления  $^{237}\text{Np}$ , получения параметров резонансов деления и поиска ( $n, \gamma f$ )-реакции созданы многослойные импульсные ионизационные камеры деления, одна из которых содержит рекордное количество сверхчистого изотопа  $^{237}\text{Np}$  порядка 1,5 г;
3. Измерены площади  $\Gamma_f$  и делительные ширины  $\sigma_0 \Gamma_f$  резонансов первого кластера при энергии около 40 эВ и сверхслабых делительных резонансов  $^{237}\text{Np}$  в интервале энергии резонансных нейтронов ниже 10 эВ. Последние измерены с самой высокой, до сегодняшнего дня, статистической точностью. Полученные в 1993 г. данные включены в Атлас данных Сухоручкина [SSD98]. Для большинства резонансов наши данные согласуются в пределах достигнутой точности с рекомендованными значениями [Mug84] и отличаются  $\sim$  в 3 раза от опубликованных группы в *Сакле* (Франция) [PBP76] величин делительных ширин  $\Gamma_f$  и  $\sim$  в 1,5 раза от данных Геля (Бельгия) [KTL71]. Т.е. установлено, что эти данные содержат систематическую ошибку в 150 %;

4. Полученные данные по усреднённому *сечению деления*  $\langle\sigma_f\rangle$  подтвердили данные Кимуры из Университета в Киото (Япония) [KYK92+]. Данные Курчатовского института [GDD97+] так же подтверждают наши данные [4, 7], которые обсуждались Игнатюком (из ФЭИ-Обнинск) на конференции по ядерным данным в Японии [Ign97]. Улучшенные значения параметров резонансов и энергетического хода сечения деления, которые были получены в Дубне, опубликованы в [11];
5. **Впервые** были измерены относительные выходы  $R$   $\gamma$ -квантов в сверхслабых резонансах вне резонансных кластеров, в резонансах первого резонансного кластера при энергии около 40 эВ и в резонансных кластерах в интервале 100-500 эВ;
6. **Впервые** обнаружена статистически значимая линейная корреляция между относительными выходами  $\gamma$ -квантов деления  $R$  и обратными делительными ширинами резонансов  $1/\Gamma_f$ , которая показывает, что влияние (n,γf)-реакции на наблюдаемые вариации выходов  $\gamma$ -квантов деления не может быть исключено;
7. **Впервые** экспериментально были оценены энергия этого пред делительного  $\gamma$ -кванта ( $E_\gamma \geq 0,6$  МэВ) и ширина возможного (n,γf)-процесса ( $\Gamma_f \sim 1-10$  мкэВ) в I минимуме двугорбого барьера деления [11];
8. **Впервые**, на основании полученных результатов выдвинуто предположение о возможном существовании (n,γf)-процесса во II минимуме двугорбого барьера деления, конкурирующее процесс заселения изомерного состояния [Der95].

Полученные нами данные по сечению деления и по резонансным параметрам могут быть использованы в экспериментах по моделированию трансмутации  $^{237}\text{Np}$  в высокопоточных реакторах следующего поколения.

Относительно высокие ошибки данных *единственного пока* эксперимента по поиску (n,γf)-реакции в подбарьерном делении  $^{237}\text{Np}$  не позволяют более точно определить вклад этой реакции. Но полученная нами индикация о её протекания при подбарьерном делении  $^{237}\text{Np}$  резонансными нейтронами может послужить дополнительной и достаточно весомой причиной *продолжить* эти исследования.

Для получения более надёжных и качественных данных нужно:

- 1) существенно улучшить фоновые условия эксперимента и повысить разрешения нейtronного спектрометра;
- 2) использовать многодетекторные, высокоэффективные и быстрые детекторы  $\gamma$ -квантов и осколков деления;
- 3) для сбора и обработки детекторных сигналов использовать более современную электронику.

Список публикации с основными результатами диссертации:

1. Dermendjiev, E., Goverdovsky, A.A., Furman, W.I., Pikelner, L.B., Ruskov, Iv., Siegler, P., Zamyatnin, Yu.S. "Fission Gamma-ray multiplicity measurements in  $^{233}\text{U}$ ,  $^{235}\text{U}$ ,  $^{237}\text{Np}$  and  $^{239}\text{Pu}$  low energy fission resonances", *Proc. of the Int. Conf. "Nuclear Data for Science and Technology"*, Jülich, 13-17 May 1991, p.147-149, Springer-Verlag, Berlin, Germany, 1992.
2. Dermendjiev E., Goverdovsky A.A., Ruskov Iv., Zamyatnin Yu.S., "Resonance parameters of low energy fission resonances of  $^{237}\text{Np}$ ", *An Int. Workshop "Dynamical aspects of nuclear fission"*, Smolenice Castle, CSSR, 1993.
3. Говердовский А. А., Дерменджиев Е., Русков И., Замятнин Ю. С., "Площади и делительные ширины низколежащих резонансов  $^{237}\text{Np}$ ", *Препринт Р3-93-283, ОИЯИ*, Дубна, 1993.
4. Говердовский А.А., Дерменджиев Е., Русков И., Замятнин Ю.С., "Сечение деления  $^{237}\text{Np}$  нейtronами с энергией  $E_n \leq 500$  eВ", *Препринт ОИЯИ Р3-93-440*, Дубна, 1993.
5. Говердовский А. А., Дерменджиев Е., Русков И., Замятнин Ю. С., "Площади и делительные ширины низколежащих резонансов  $^{237}\text{Np}$ ", *Ядерная физика* **57**, № 8 (1994) 1362; Dermendjiev E., Ruskov I., Zamyatnin Yu.S., Govergovsky A.A., "Resonance Areas and Fission Widths of Low lying Resonances of  $^{237}\text{Np}$ ", *Physics of Atomic Nuclei* **57** (1994) 1362.
6. Dermendjiev E., Goverdovsky A. A., Ruskov Iv., Zamyatnin Yu. S., Study of  $^{237}\text{Np}$  Low Energy Resonance Neutron Fission, In *Proceedings of the XII Conference on Nuclear Fission*, 27-30 Sept., 1994, Obninsk, Russia.
7. Говердовский А.А., Дерменджиев Е., Замятнин Ю.С., Русков И., "Сечение деления  $^{237}\text{Np}$  нейтронами с энергией  $E_n \leq 500$  эВ", *Ядерная физика* **58**, № 1 (1995) 27. Goverdovsky A.A., Dermendjiev E., Zamyatnin Yu.S., Ruskov I., "Cross Section of  $^{237}\text{Np}$  Fission Induced by Neutrons with Energy  $E_n \leq 500$  eV", *Physics of Atomic Nuclei* **58**, № 1 (1995) 24.
8. Borzakov S. B., Dermendjiev E., Kalinin A. I., Konovalov V.Yu., Ruskov I., Soloviev S.M., Zamyatnin Yu.S., "Study of fission  $\gamma$ -ray yields from low energy resonances of  $^{237}\text{Np}$  and observation of the  $(n,\gamma f)$ -process", E3-95-307, *Proc. of the III Int. Seminar on Interaction of Neutrons with Nuclei*, Dubna, April 26-28, 1995, p. 307-317.
9. Borzakov S.B., Dermendjiev E., Goverdovsky A.A., Kalinin A.I., Konovalov V.Yu., Ruskov I., Soloviev S.M., Zamyatnin Yu.S. "Study of Fission  $\gamma$ -ray Yields from Low Energy Resonances of  $^{237}\text{Np}$  and Observation of the  $(n,\gamma f)$ -process", In *Proceedings of the XIII Meeting on Physics of Nuclear Fission in the Memory of Prof. G.N. Smirenkin*, Obninsk, 3-6 October, 1995, p. 41-51.
10. Borzakov S.B., Dermendjiev E., Goverdovsky A.A., Kalinin A.I., Konovalov V.Yu., Ruskov I., Soloviev S.M., Zamyatnin Yu.S., "Study of Fission  $\gamma$ -ray Yields from Low Energy Resonances of  $^{237}\text{Np}$  and Searching for the  $(n,\gamma f)$ -process", *Ядерная физика* **59**, № 7 (1996) 1175-1179.

11. Борзаков С. Б., Говердовский А.А., Дерменджиев Э., Замятнин Ю.С., Калинин А.И., Коновалов В.Ю., Русков И., Соловьев С.М., "Параметры резонансов и сечение деления  $^{237}\text{Np}$  нейтронами с энергиями ниже 1000 эВ", *Ядерная физика* **62**, № 5 (1999) 933-940; S.B. Borzakov, E. Dermendjiev, A.A. Goverdovsky, A.I. Kalinin, V.Yu. Konovalov, I. Ruskov, S.M. Soloviev, and Yu.S. Zamyatnin, "Resonance Parameters and Neutron Cross, Section for  $^{237}\text{Np}$  Fission Induced by Neutrons with Energies Below 1000 eV", *Physics of Atomic Nuclei* **62**, № 5 (1999) 872-879.

### Литература

- [ГЖИ88] Гришин В.К., Живописцев Ф.А., Иванов В.А., "Математическая обработка и интерпретация физического эксперимента, М.: МГУ, 1988.
- [ГКК70+] Гаврилов К.А., Кошаева К.К., Крайтор С.Н., Пикельнер Л.Б., *Атомная энергия* **28** (1970) 362.
- [ГКП59] Голданский В.И., Куценко А.В., Подгорецкий М.И., *Статистика отсчётов при регистрации ядерных частиц*, М.: ФМЛ, (1959) 366.
- [Дер95] Дерменджиев Е., "(n,  $\gamma$ ) – процесс во II минимуме двугорбого барьера деления  $^{237}\text{Np}$ ", *Сообщение ОИЯИ Р3-95-469*, Дубна, 1995.
- [МАК91] Хрыкина Т. Д., "Программа MAK - для сбора и визуализации спектров от времяпролётных кодировщиков в системе КАМАК", Частное сообщение, 1991
- [МПР72+] Малецки Х., Пикельнер Л.Б., Родионов К.Г., Саламатин И.М., Шарапов Э.И., "Детектор нейтронов и гамма-лучей для работ в области нейтронной спектроскопии", *Сообщение ОИЯИ 13-6609*, Дубна, 1972.
- [Щер90] Щербаков О.А., "Экспериментальные исследования (n,  $\gamma$ f)-реакций", *ФЭЧАЯ* **21**, вып.2, 1990.
- [AMM84+] Auchampaugh G.F., Moore M.S., Moses J.D., Nelson R.O., Exterman R.C., Olsen C.E., *Phys. Rev.* **29C** (1984) 174.
- [BGM90] Brosa U., Großmann S., Müller A., Nuclear Scission, *Physics Reports* **197**, № 4, (1990) 167.
- [Boh36] Bohr N., *Nature* **133** (1936) 344.
- [Boh56] Bohr A., *Proc. Intern. Conf. Peaceful Uses At. Energy* **2** (1956) 151.
- [FBM68+] Fubini A., Blons J., Michaudon A., Paya D., *Phys. Rev. Lett.* **20** (1968) 1373.
- [FP40] Flerov G.N., Petrjak K.A., *Phys. Rev.* **58** (1940) 89.
- [GDD97+] Gerassimov V.F., Danichev V.V., Dement'ev V.N., Zenkevitch V.S., Mosolev G.V., "Measurements of Transuranium Isotopes Fission Cross Section With Lead Slowing-Down Spectrometer", Proc. of the ISINN-5, E3-97-213, Dubna, (1997) 348.
- [Hof76] Hoffman M., *Bull American Phys. Soc.* **21** (1976) 655.
- [HW39] Hill D.L., Wheeler J.A., *Phys. Rev.* **54** (1939) 426.
- [Ign97] Ignatyuk A., "Analysis of the evaluated data discrepancies for minor actinides and development of improved evaluations", *Selected papers of ISIC Workshop on Nuclear Data of Minor Actinides*, 27-31 May 1996, JAERI, Tokai-mira, Ibaraki-ken, Japan (JAERI – Conf. 97-001, p. 262-292).

- [JBO72] Jiaocetti R.J., Brown W.K., Olson H.G., *Nucl. Sci. Eng.* **48** (1972) 412; Hoffman M., *Bull. American Phys. Soc.* **21** (1976) 655.
- [KTL71] Kollar W., Theobald J.P., Lanzano G., *Zeit. für Physik* **248** (1971) 355.
- [KYK92+] Kimura I., Yamanaka A., Kanasawa S., Kobayashi K., Yamamoto S., Nakagome Y., Fujita Y., Tamai T., Report in *Int. Seminar on Neutron Physics*, Dubna, April 1992.
- [LBA91+] Lisowski P.W., Bowman C.D., Arthur E.D., Young P.G., Proc. Int. Conference "Nuclear Data for Science and Technology", Jülich, FGR, 13-17 May 1991, Springer-Varlag, (1992) 92.
- [Lyn68] Lynn J.E., AERE-R-5891, UKAE, Harwell, 1968; "*The theory of neutron resonance reactions*", Clarendon Press, Oxford, 1968, 435.
- [MPR72+] Malecky K., Pikelner L.B., Rodionov K.G., Salamatin I.M., Sharapov E.I., *JINR Report 13-6609*, Дубна, 1972.
- [Mug84] Mughabghab S.F., "*Neutron Cross Sections*" 1B, BNL, Academic Press Inc., 1984, New York, USA.
- [Ori98] "A powerful data analysis and technical graphics package: ORIGIN 6.0". <http://www.microcal.com/>.
- [PBP76] Plattard S., Blons J., Paya D., *Nucl. Sci. Eng.* **61** (1976) 477.
- [PDK62+] Polikanov, V. A. Druin, V. A. Karnauchov, V. L. Mikheev, A. A. Pleve, N. K. Skobelev, V. G. Subbotin, G. M. Ter-akop'yan, V. A. Fomichev, *Zh. Eksperim. Theoret. Fiz.* **42**, (1962) 1464; *Sov. Phys. -JETP* **15**, (1962) 1016.
- [RTS73+] Ryabov Yu., Troshon J., Shackleton D., Freaut J., " $\gamma$ -ray multiplicities in  $^{239}\text{Pu}$  fission induced by resonance neutrons: experimental evidence for the (n, $\gamma\text{f}$ )-reaction", *Nuc. Phys.* **A216** (1973) 395.
- [Rya97] Ryabov Yu.V., "Investigations of (n, $\gamma\text{f}$ )-reaction for U-235 and Pu-239 resonances and structure of fission barrier", *Proc. of V Int. Seminar on Inter. of Neutr. with Nuclei, Dubna*, 14-17 May 1997, p. 422.
- [Sha89] Shapira J., "Long term Nuclear Waste Management: Present Status and Alternatives", *Nucl. Inst. Meth.* **A280** (1989) 568.
- [SSD98] Sukhoruchkin S.I., Soroko Z.N., Deriglazov V.V., Tables of Neutron Resonance Parameters, *Landolt-Börnstein Numerical Data and Functional Relationship in Science and Technology I/16*: Elementary Particles, Nuclei and Atoms, sub. V. B, Springer-Verlag Press, 1998, Strutinsky V.M., *Nucl. Phys.* **A95** (1967) 420.
- [Str67] Trochon J., "Etude des propriétés de la fission dans les résonances de  $^{239}\text{Pu}$  induites par neutrons lents": *These de Doctorat*, Paris, 1978.
- [VP77] Vturin V.A., Popov Yu.P., *Report JINR P3-10775*, Dubna, 1977.
- [VWS73] Verbinski V., Weber H., Sund R., *Phys. Rev.* **C7** (1973) 1173.

Рукопись поступила в издательский отдел  
25 апреля 2000 года.

Макет Н.А.Киселевой

Подписано в печать 26.04.2000

Формат 60 × 90/16. Офсетная печать. Уч.-изд. листов 2,38  
Тираж 100. Заказ 52001

Издательский отдел Объединенного института ядерных исследований  
Дубна Московской области